

# Результаты оперативного спутникового мониторинга Черного, Балтийского и Каспийского морей в 2009-2010 годах

Лаврова О.Ю., Митягина М.И., Каримова С.С., Бочарова Т.Ю., Строчков А.Я.

Институт космических исследований РАН

olavrova@iki.rssi.ru

### Спутники и сенсоры, используемые для

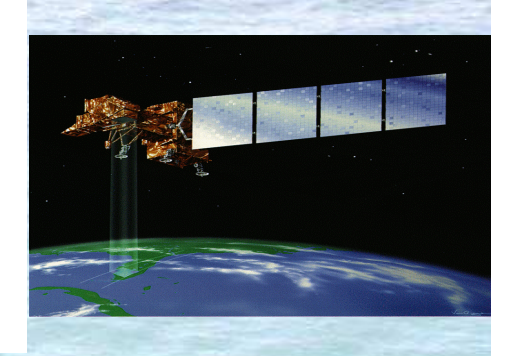
### мониторинга

- Радиолокаторы с синтезированной апертурой ASAR ИСЗ Envisat, SAR ИСЗ ERS-2, пространственное разрешение 75 м. РЛИ в режиме реального времени скачиваются с ftp mpex европейских станций приема и первичной обработки данных: ESRIN, MATERA и KIRUNA
- Многоканальный сканирующий спектрорадиометр MERIS ИСЗ Envisat; разрешение на местности 260 м. Данные MERIS ИСЗ Envisat скачиваются с сайта http://miravi.eo.esa.int . В основном используются композиты 7, 5 и 2 каналов
- Сканирующие спектрорадиометры MODIS ИСЗ Terra/Aqua; Используются композиты 3, 2 и 1 каналов, с разрешением 250 м. выставляемые в режиме реального времени на сайте http://rapidfire.sci.gsfc.nasa.gov
- Сканирующие радиометры ETM+ ИСЗ Landsat 7. и TM Landsat-5. Данные скачиваются с сайта http://glovis.usgs.gov. Разрешение 15, 30 и 60 м
- Карты SST, WLR CHR-а скачиваются с сайтов http://dvs.net.ua/mp/index.shtml u http://smiswww.iki.rssi.ru/
- карты ледового покрова http://www.smhi.se/oceanografi/iceservice/is\_prod\_en.php





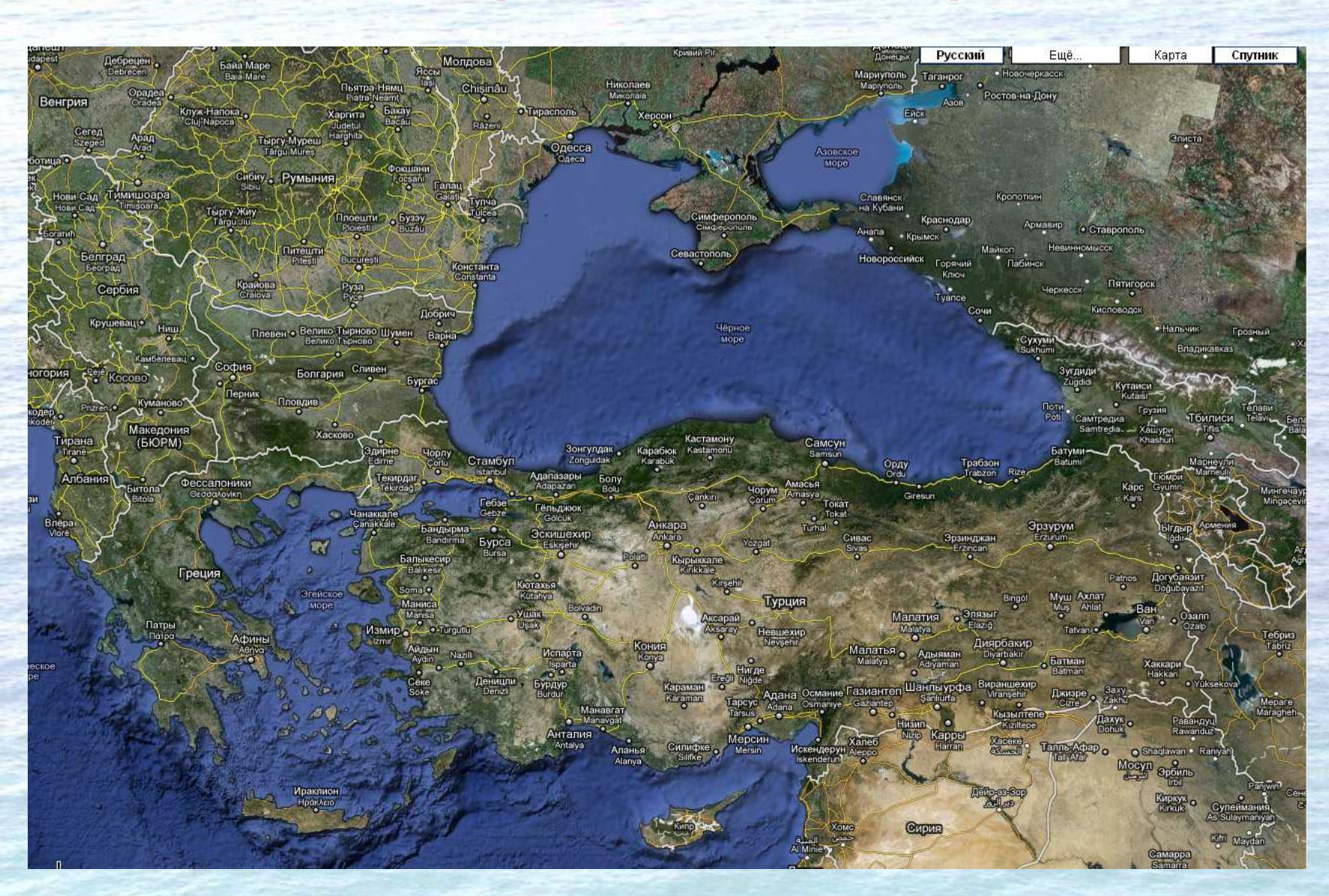






## Районы интереса

# Моря: Черное, Азовское, Мраморное, восточная часть Средиземного моря





### Каспийское море





# КИ Балтийское море и Датские проливы



### Методика проведения спутникового мониторинга

- > получение спутниковой информации с соответствующих серверов;
- координатная привязка радиолокационных изображений по навигационным данным, содержащимся в служебной информации к каждому кадру, в результате изображение представляется в координатах долгота-широта;
- **подбор гистограммы с целью наилучшего визуального восприятия основных информативных сигнатур на морской поверхности;**
- > нанесение координатной сетки;
- географическая привязка и приведение данных различных приборов дистанционной диагностики, полученных в разных диапазонах зондирования и обладающих различным пространственным разрешением к виду, позволяющему проведение их совместного анализа;
- **комплексная обработка и совместный анализ разнородных спутниковых изображений и интеграция результатов обработки спутниковых данных с информацией, полученной из других источников.**
- тематическая обработка спутниковых данных, включающая в себя: интерактивное дешифрирование многозональных спутниковых изображений.

Вся информация об имеющихся данных и результаты тематической обработки заносятся в каталог. Все полученные радиолокационные данные сведены в альбомы, содержащие как сами изображения, так и результаты их дешифровки. В ближайшее время планируется создание полноценной базы данных всех результатов мониторинга.

# Сводная таблица радиолокационных изображений, полученных в 2009-2010 г.г.

Район	2009 год			2010 год (с января по октябрь)		
	ERS-2 SAR IMM	Envisat ASAR WSM	Envisat ASAR IMM	ERS-2 SAR IMM	Envisat ASAR WSM	Envisat ASAR IMM
Черное море	88	101	161	67	103	110
<b>Каспийское</b> море	Съемк а не осу- ществ- лялась	153	13	Съемка не осуществ-лялась	163	16
<b>Балтийское</b> море	71	292	7	79	371	11

Общее количество РЛИ - 1806



### Результаты мониторинга

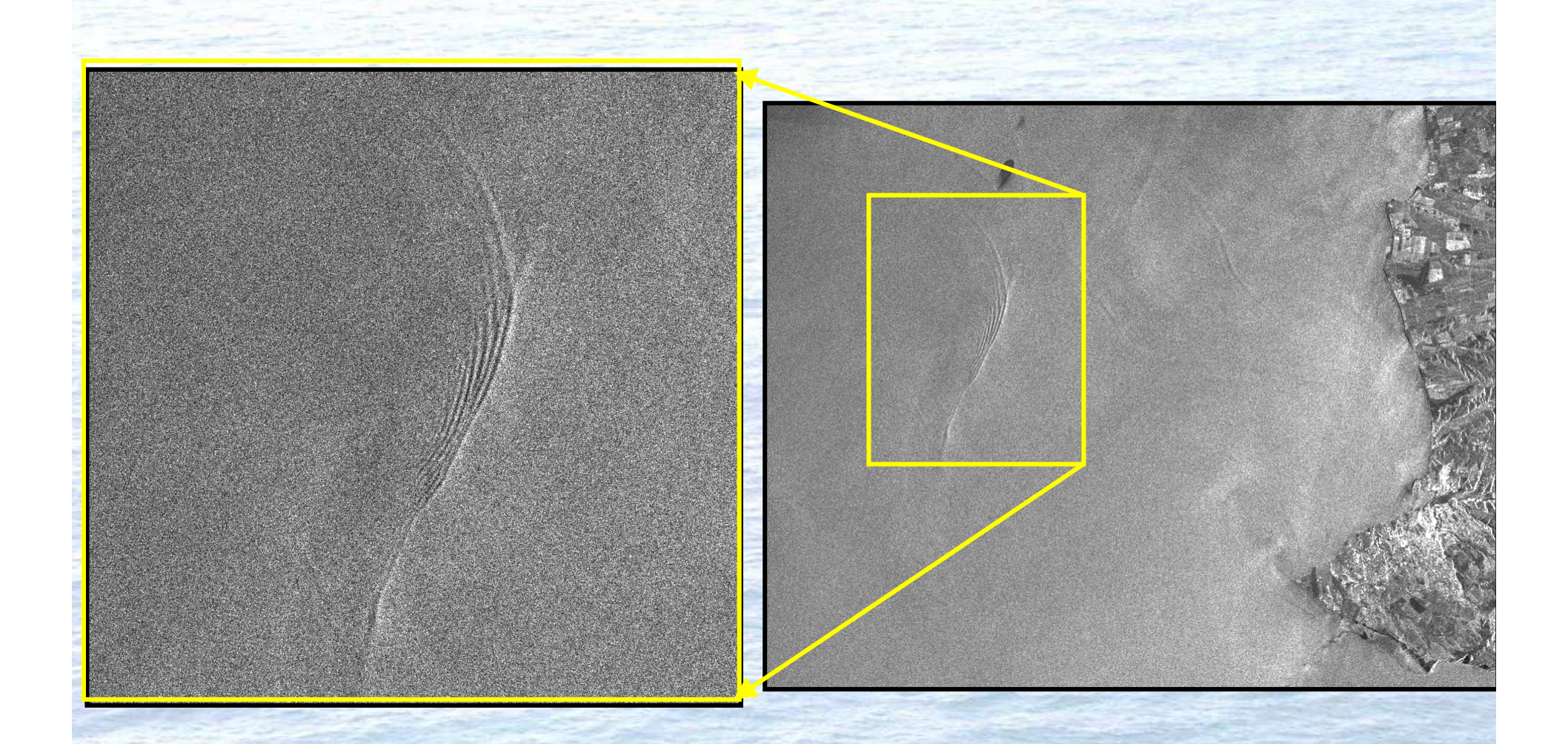


### Основные изучаемые процессы и явления

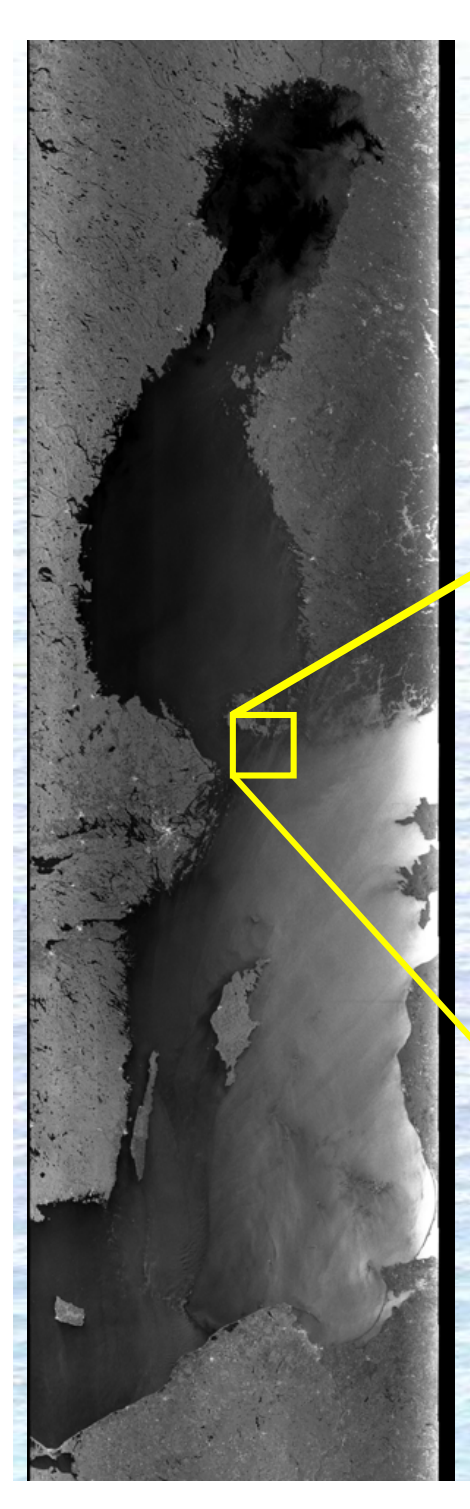
- > Внутренние волны в неприливных морях
- Атмосферные гравитационные внутренние волны
- > Вихри и вихревые диполи
- > Мониторинг ледяного покрова
- > Мониторинг антропогенных загрязнений
- > Наблюдения за судами



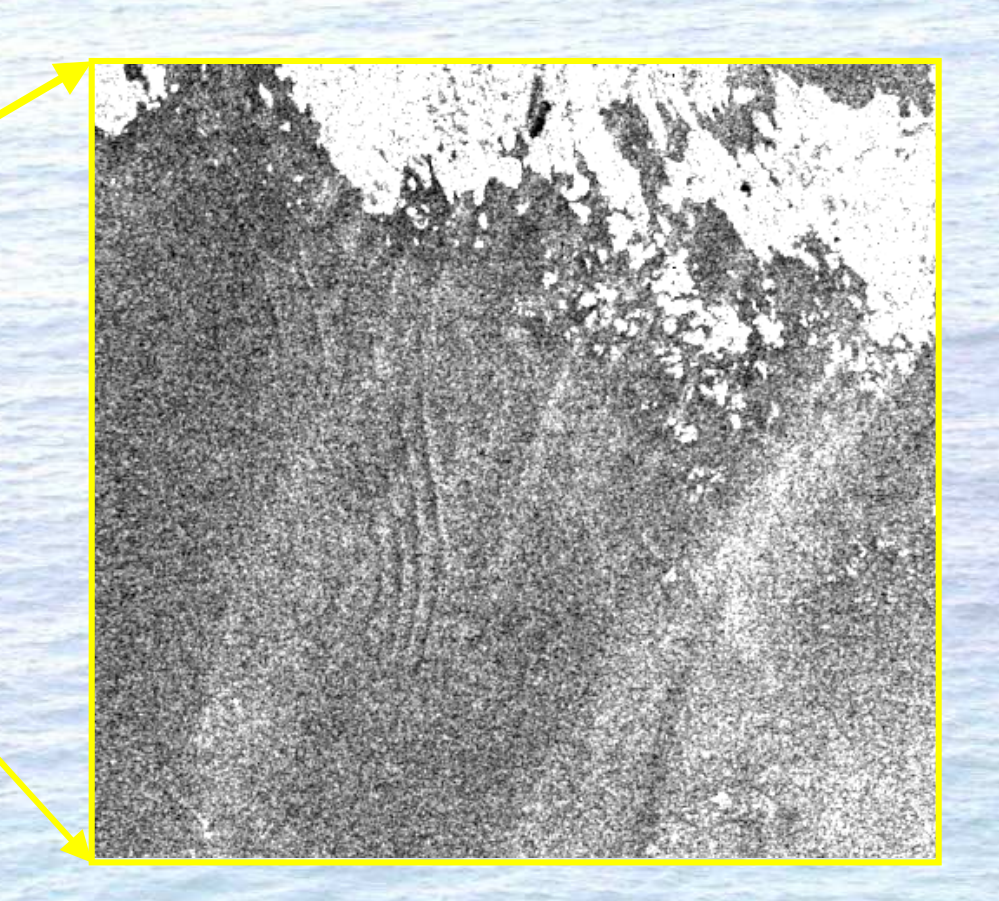
### Внутренние волны в Черном море



Цуг внутренних волн в районе Севастополя. Фрагмент РЛИ ASAR Envisat IMP VV, полученного 07.08.2009 в 08:05UTC с разрешением 12,5 м

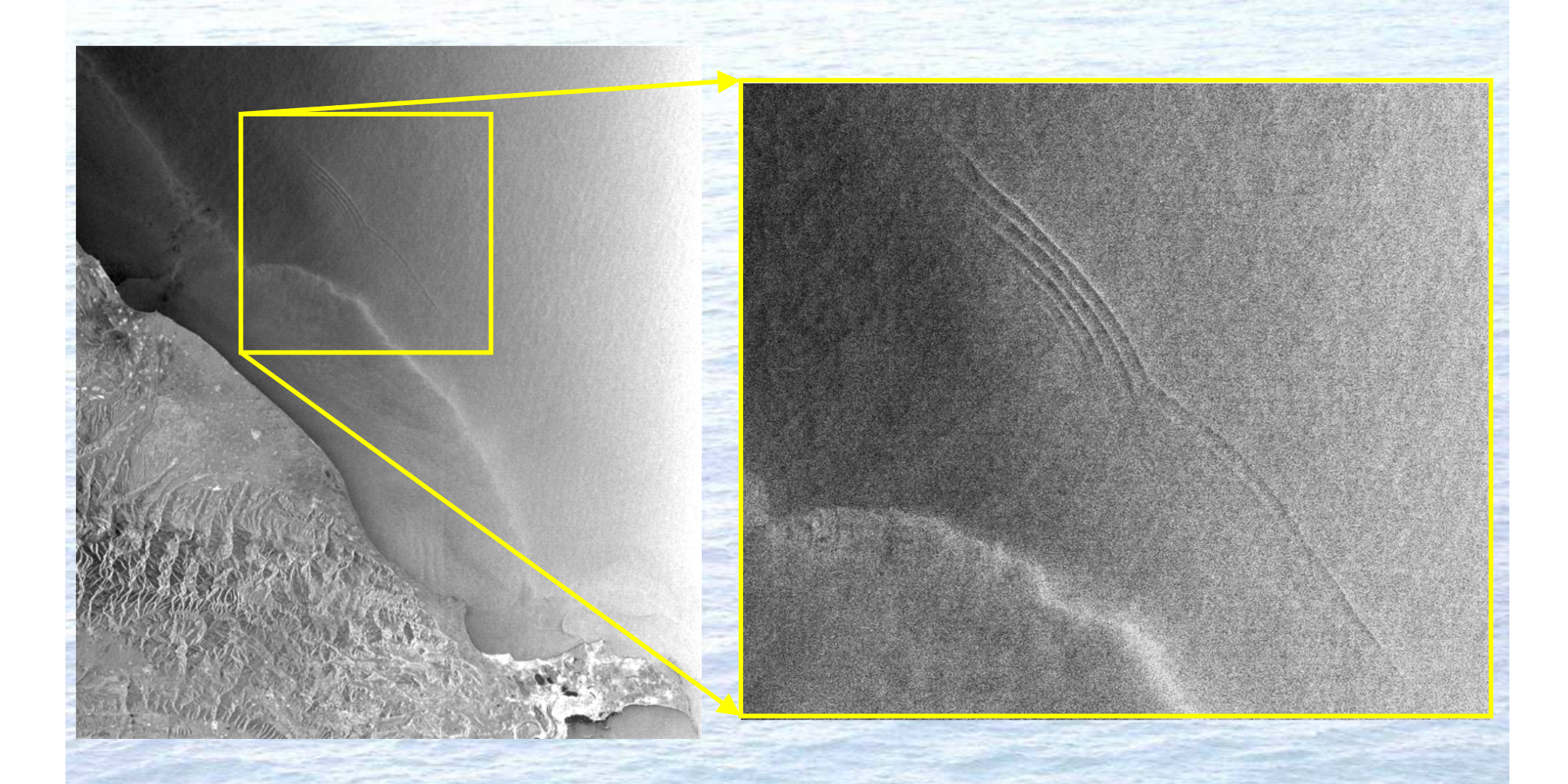


# Внутренние волны в Балтийском море



Внутренние волны в южной части Ботнического залива. Фрагмент РЛИ ASAR Envisat WSM HH, полученного 24.07.2010 в 09:07 UTC с разрешением 75 м

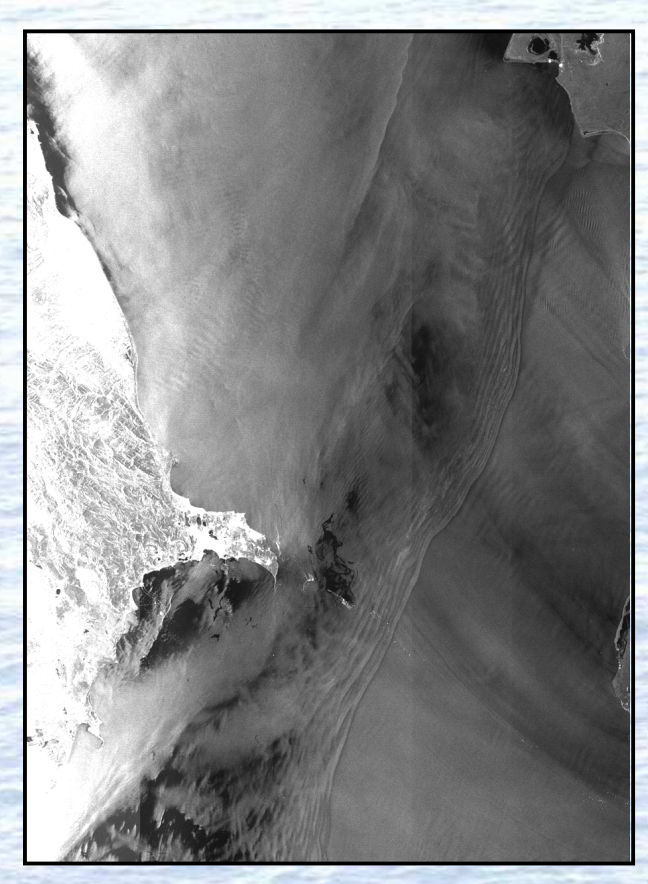
### Внутренние волны в Каспийском море



Цуг внутренних волн в Среднем Каспии Фрагмент РЛИ ASAR Envisat WSM HH, полученного 11.09.2010 в 06:52 UTC с разрешением 75 м. Протяженность фронта передней волны 82 км (!)



# **Атмосферные гравитационные** внутренние волны



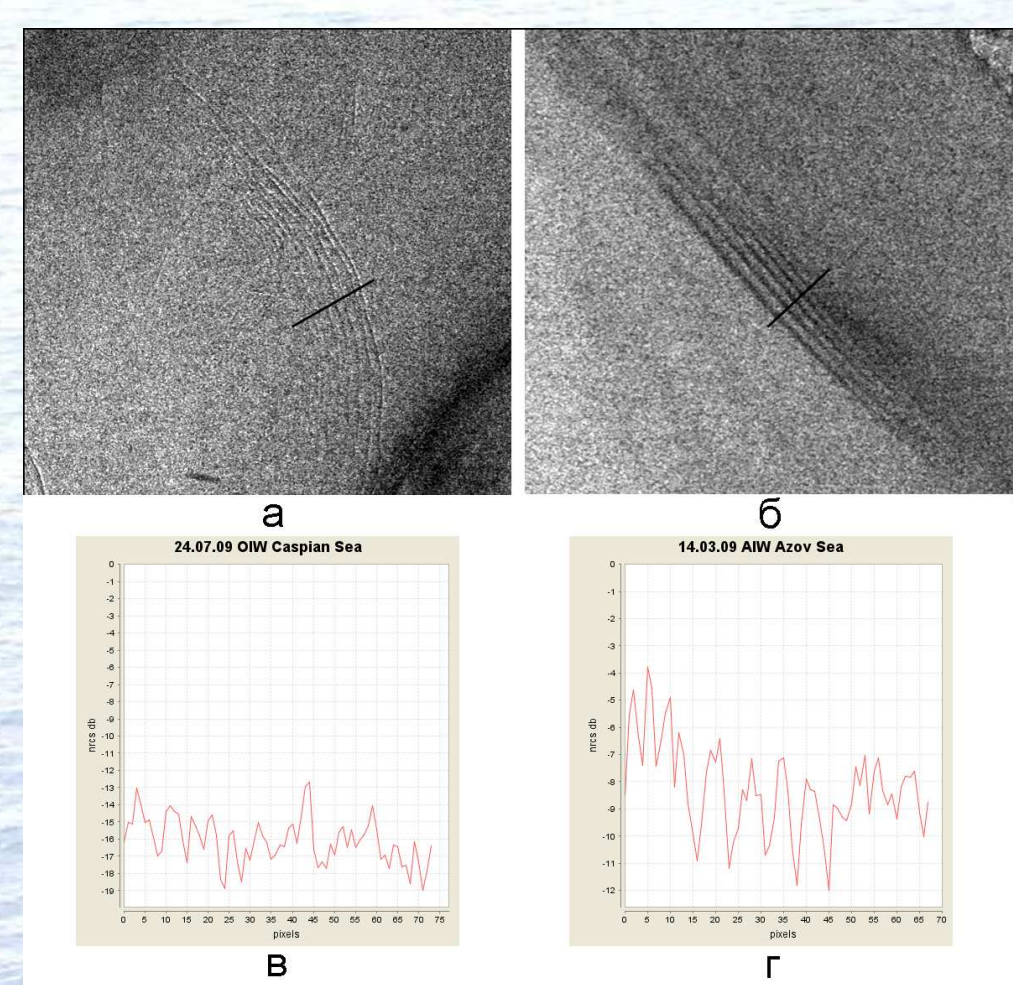
Поверхностные проявления атмосферных гравитационных внутренних волн в Каспийском море, протяженность фронта лидирующей волны 600 км. Фрагмент РЛИ ASAR Envisat WSM HH, полученного 09.03.09 в 18:28 UTC с разрешением 75 м.



Поверхностные проявления пересекающихся атмосферных внутренних волн в районе о. Борхольм. Фрагмент РЛИ ASAR Envisat WSM HH, полученного 26.04.10 в 20:33 UTC с разрешением 75 м.



### Различение ОВВ и АГВВ



- а) Цуг внутренних волн в Среднем Каспии. Фрагмент РЛИ Envisat ASAR WSM HH, полученного 24.07.09 в 18:23 UTC с разрешением 75 м.
- б) Поверхностные проявления мелкомасштабных атмосферных гравитационных внутренних волн в восточной части Азовского моря. Фрагмент РЛИ Envisat ASAR WSM VV, полученного 24.07.09 в 18:23 UTC с разрешением 75 м.
- в) и г) Вариации радиолокационного сигнала вдоль обозначенных на РЛИ линий разреза

Радиолокационные образы двух этих явлений очень похожи. Отличия, видные на глаз: ОВВ проявляются в виде ярких светлых полос (сулоев) фронты которых искривлены, а АГВВ — в виде параллельных темных линий (сликов). Учитывая, что разрешение обоих снимков одинаково, видно, что ширина каждой полосы сулоя меньше, чем полосы слика. Поверхностные проявления АГВВ как бы несколько сглажены.



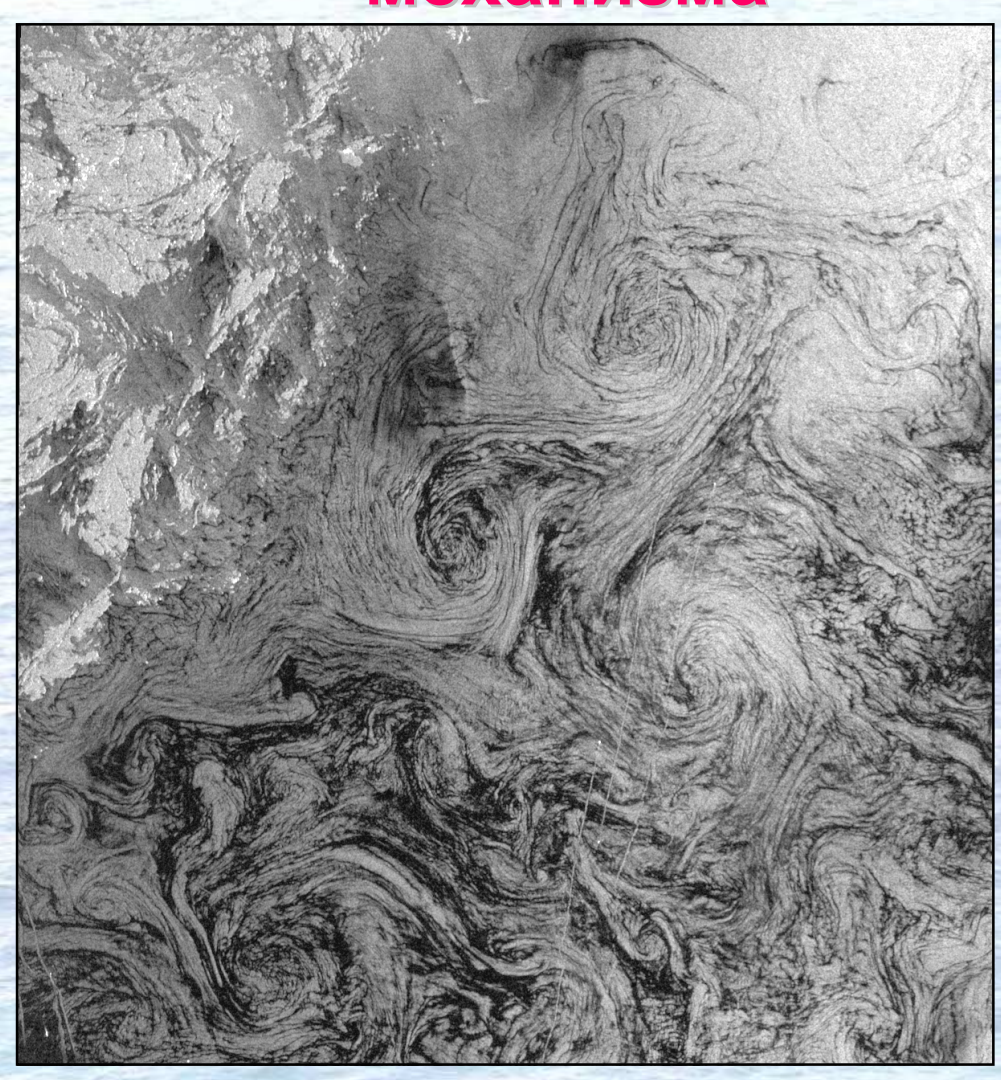
# Механизмы проявления вихрей на радиолокационных изображениях

### Вихри проявляются посредством:

- нитевидных сликов, образованных скоплениями пленок ПАВ в результате орбитального движения в вихре (темные полосы)
- полос сулоя, очерчивающих вихрь (яркие полосы) в результате сдвига течения
- > плавучего молодого льда в роли пассивного трассера



### Проявление вихрей за счет сликового механизма



Фрагмент снимка SAR ERS-2 IMM VV от 21.06.2009. Балтийское море к северу от о. Готланд. Разрешение 75 м.

### Проявление вихрей за счет сликового и сдвигово-волнового механизма



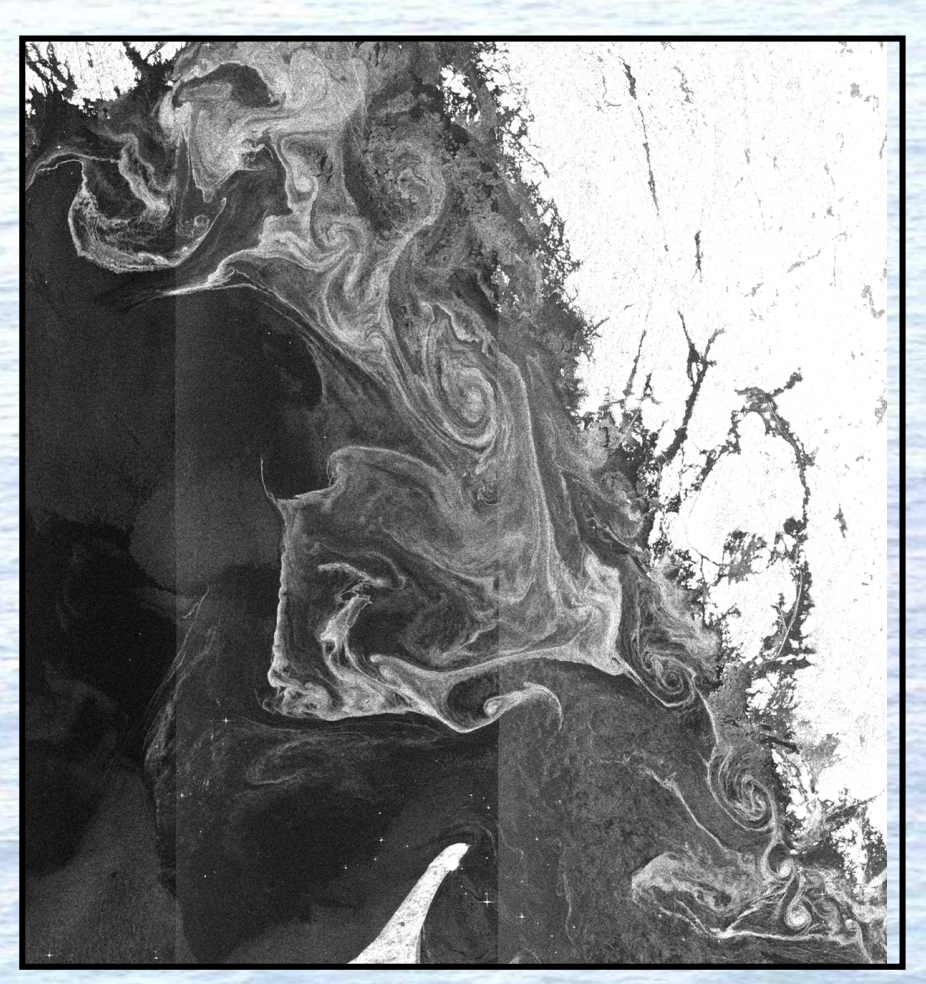
- 1 вихри, очерченные сликами
- 2 вихри, очерченные полосами сулоя

Фрагмент снимка ASAR Envisat IMM VV от 24.03.2010. Скорость ветра 1-8 м/с

При больших скоростях ветра, 8-12 м/с, слики разрушаются. Вихри могут проявляться в виде ярких «арочных» структур, очерчивающих вихрь или его часть

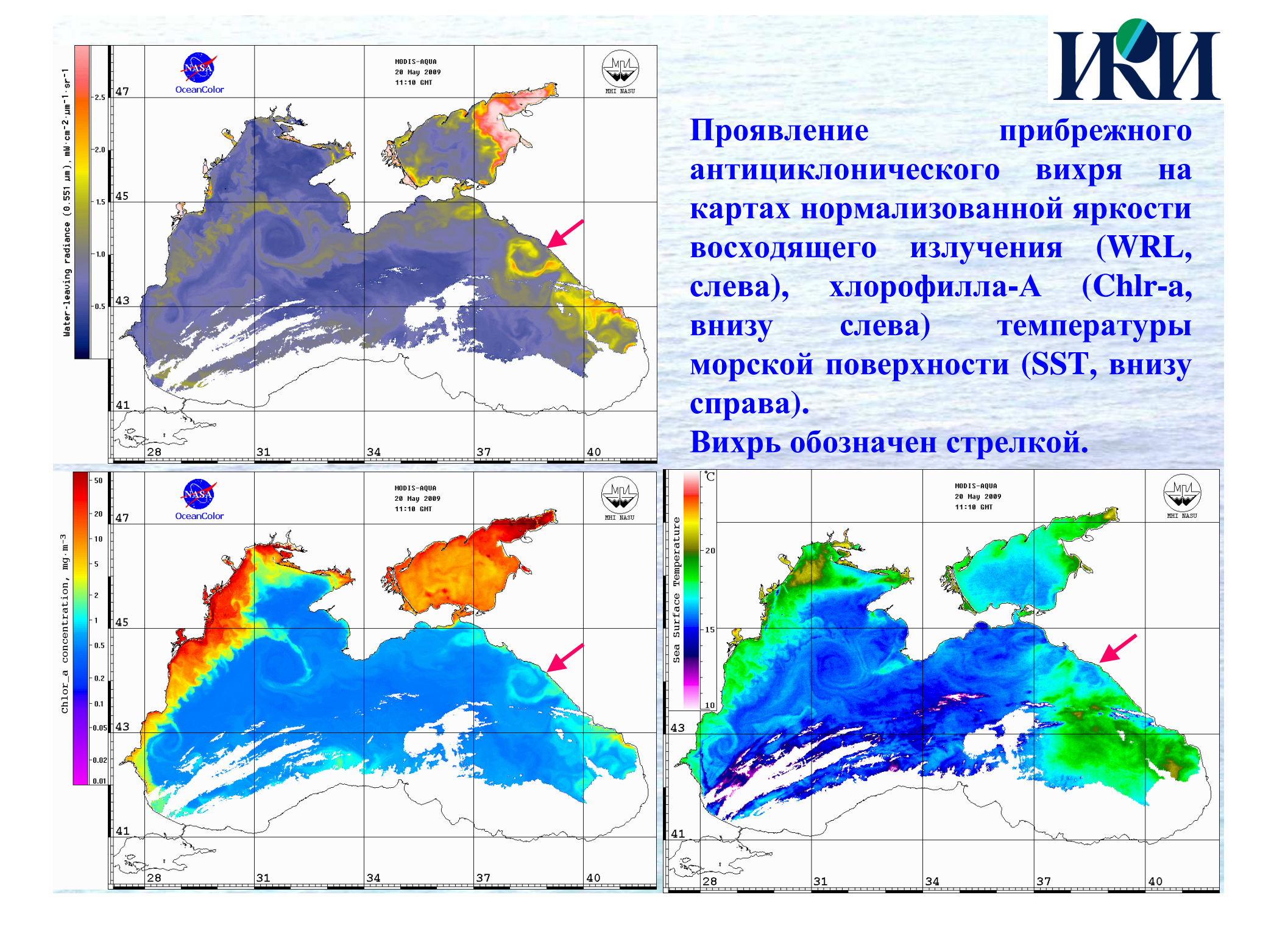


### Проявление вихрей за счет «ледового механизма»



Фрагмент снимка ASAR Envisat WSM HH от 26.01.2010

Плавучий молодой лед в роли пассивного трассера



### Проявление вихрей на оптических снимках

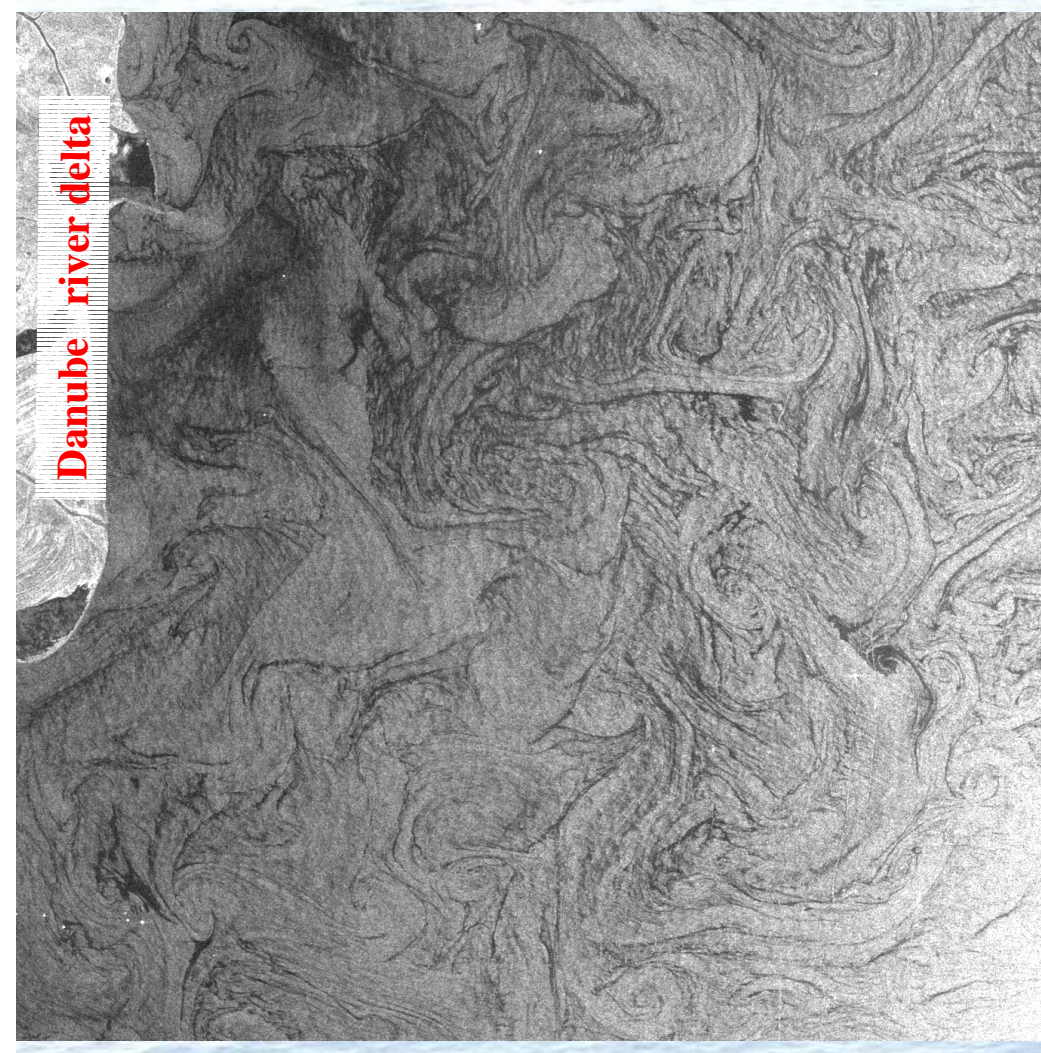


Сигнал формируется благодаря неоднородностям шероховатости морской поверхности, например, поверхностным пленкам в роли трассеров, как в случае радиолокационных изображений

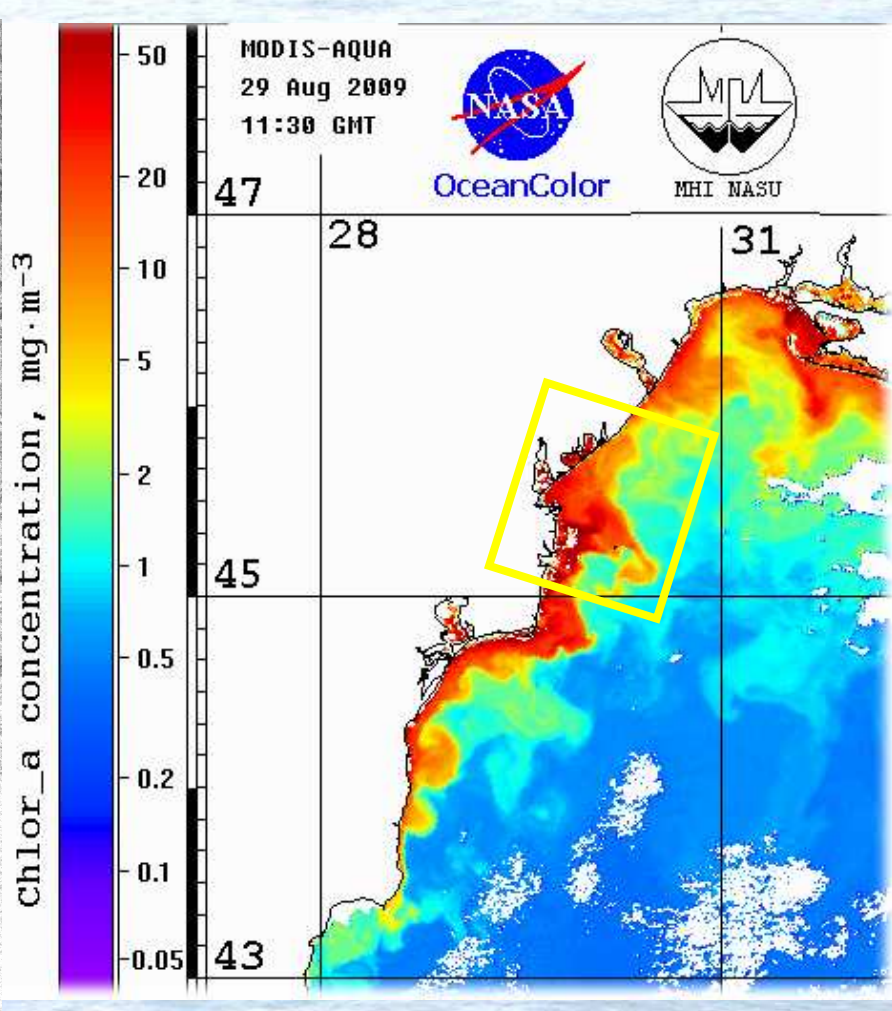
Фрагмент снимка Envisat MERIS от 01.05.2010. Проявление вихрей в зоне солнечного блика



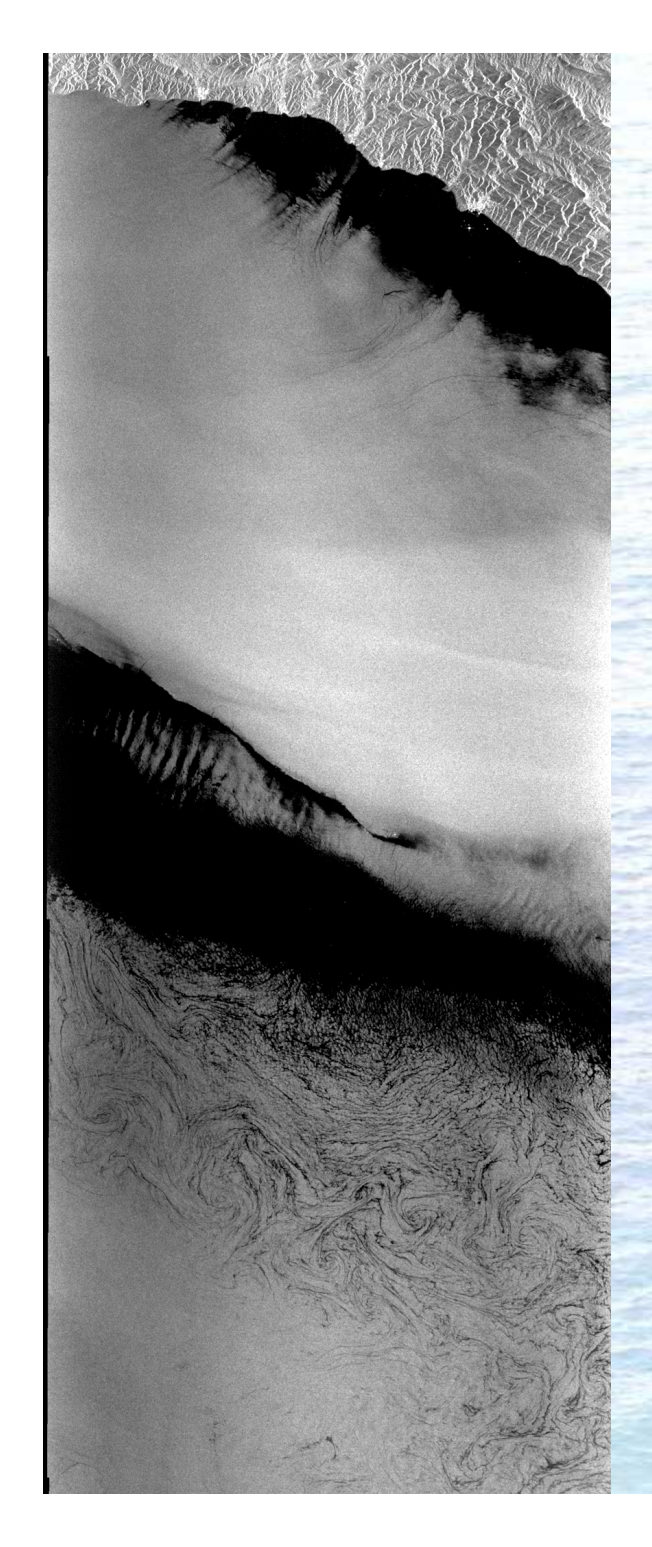
### Мелкомасштабные вихри



Фрагмент снимка ASAR Envisat WSM VV от 29.08.2009 в районе дельты реки Дунай. Разрешение 75 м



Фрагмент карты Chlr-а, полученной на базе данных MODIS Aqua. Разрешение 1 км. Прямоугольник соответствует положению РЛИ



### Мелкомасштабные вихри и фронт (1)



возмущение приводном атмосферы

слое

возмущение в верхнем слое моря, быстро убывающее с глубиной

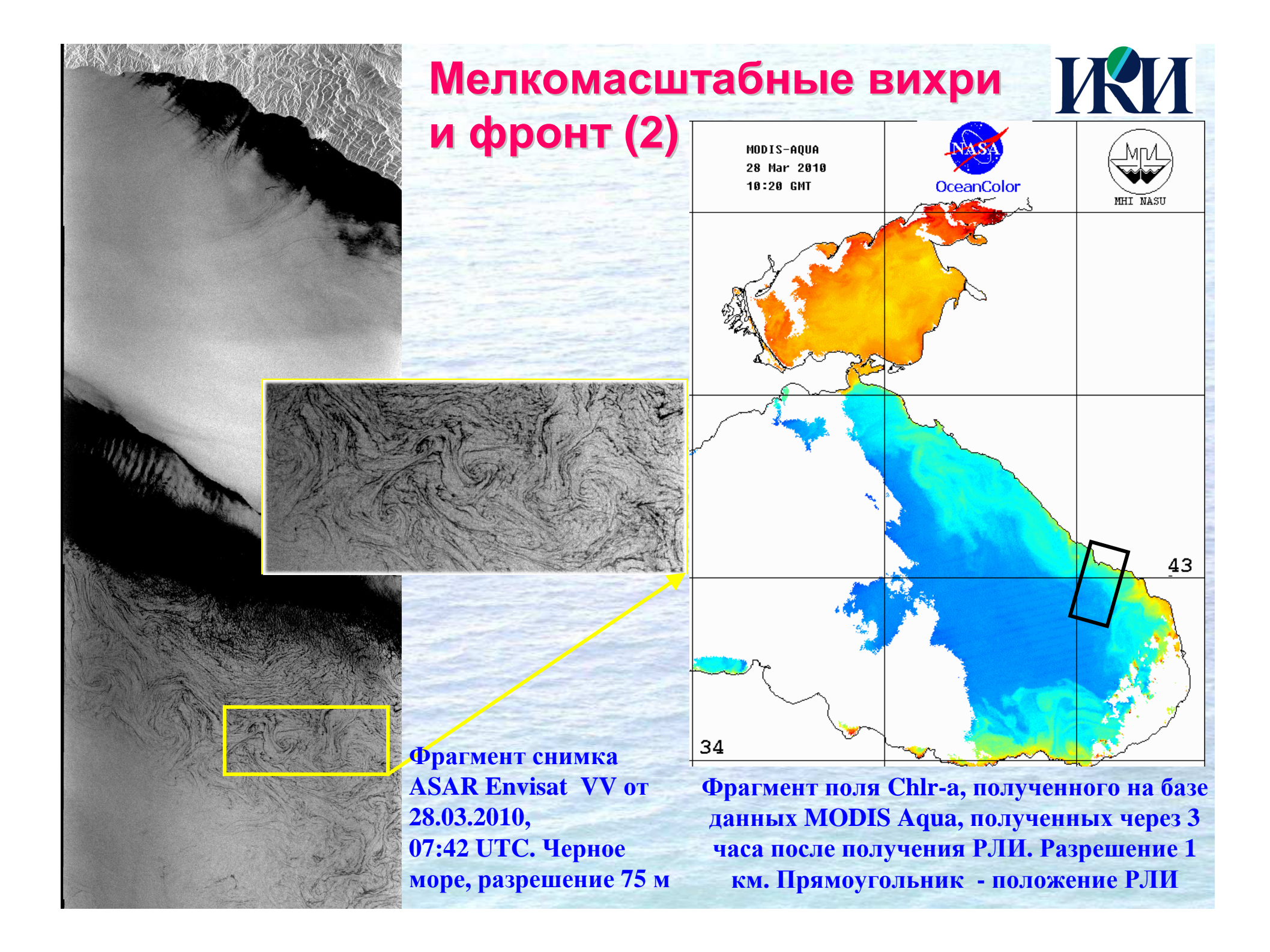


приповерхностная плотностная стратификация, суточный термоклин



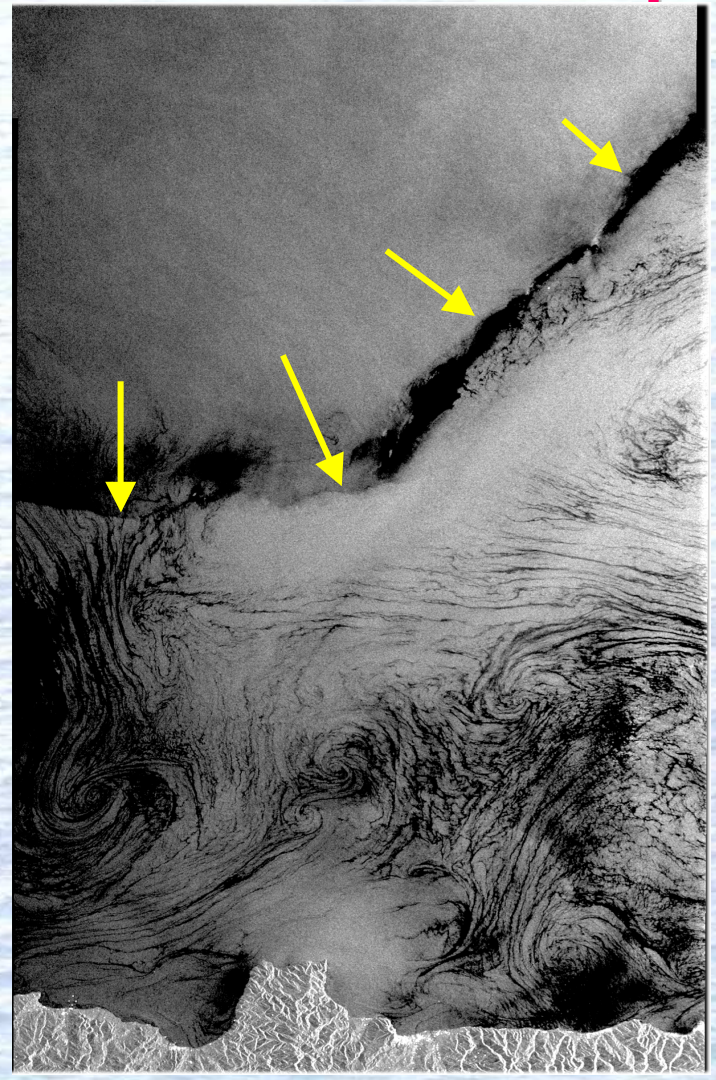
возмущения в море становятся существенно двумерными

«Двумерная» турбулентность характеризуется увеличением масштаба и одновременно завихренностью





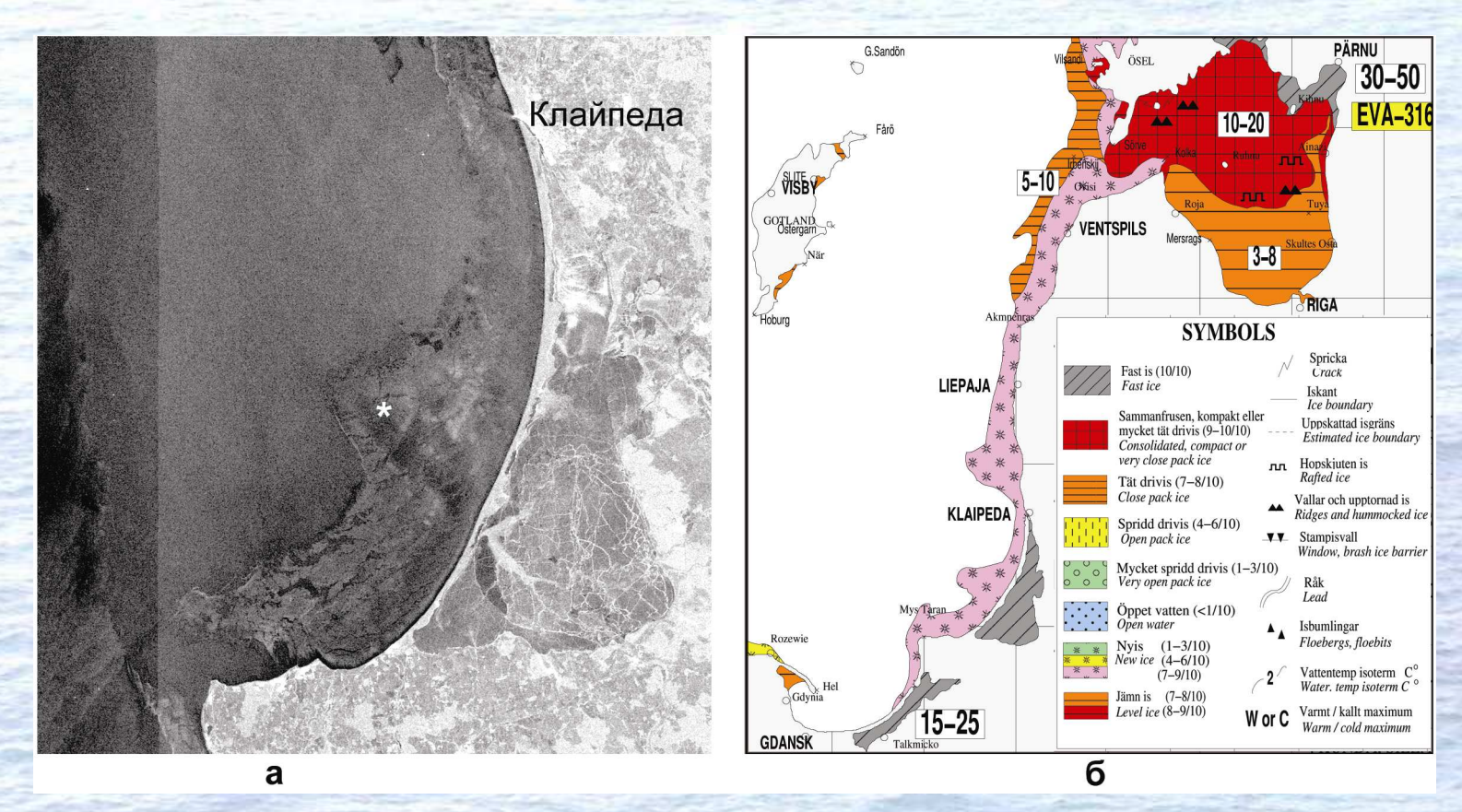
Мелкомасштабные вихри и фронт (3)



Фрагмент снимка SAR ERS-2 IMM VV от 02.02.2010, Черное море. Стрелками указано положение фронта. Возможно, фронт блокирует распространение вихрей



### Мониторинг ледяного покрова (1)



Ледовая обстановка в районе ледостойкой нефтедобывающей платформы Д-6 09.02.2010.

- а) Фрагмент РЛИ ASAR Envisat WSM HH, полученного 09.02.2010 в 08:54 UTC с разрешением 75 м (© ESA). Звездочкой отмечена платформа Д-6.
- б) Карта ледового покрова юго-восточной части Балтийского моря за данное число (http://www.smhi.se)



# Мониторинг ледяного покрова (2)

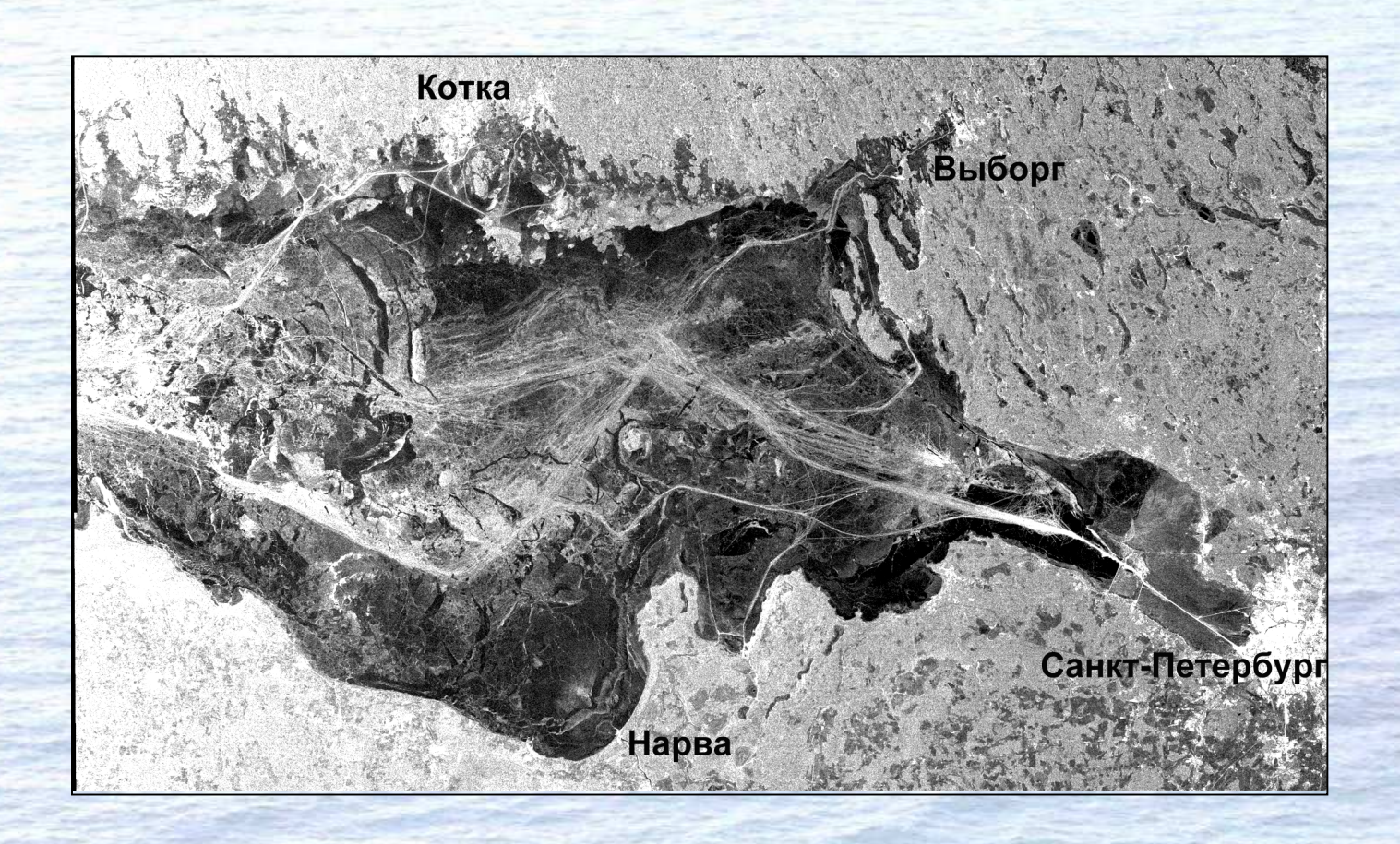


Вынос льда из реки Висла.

Фрагмент ASAR Envisat WSM HH изображения от 27.01.2010, 09:05 UTC. Пространственное разрешение 75 м.



### Мониторинг ледяного покрова (3)



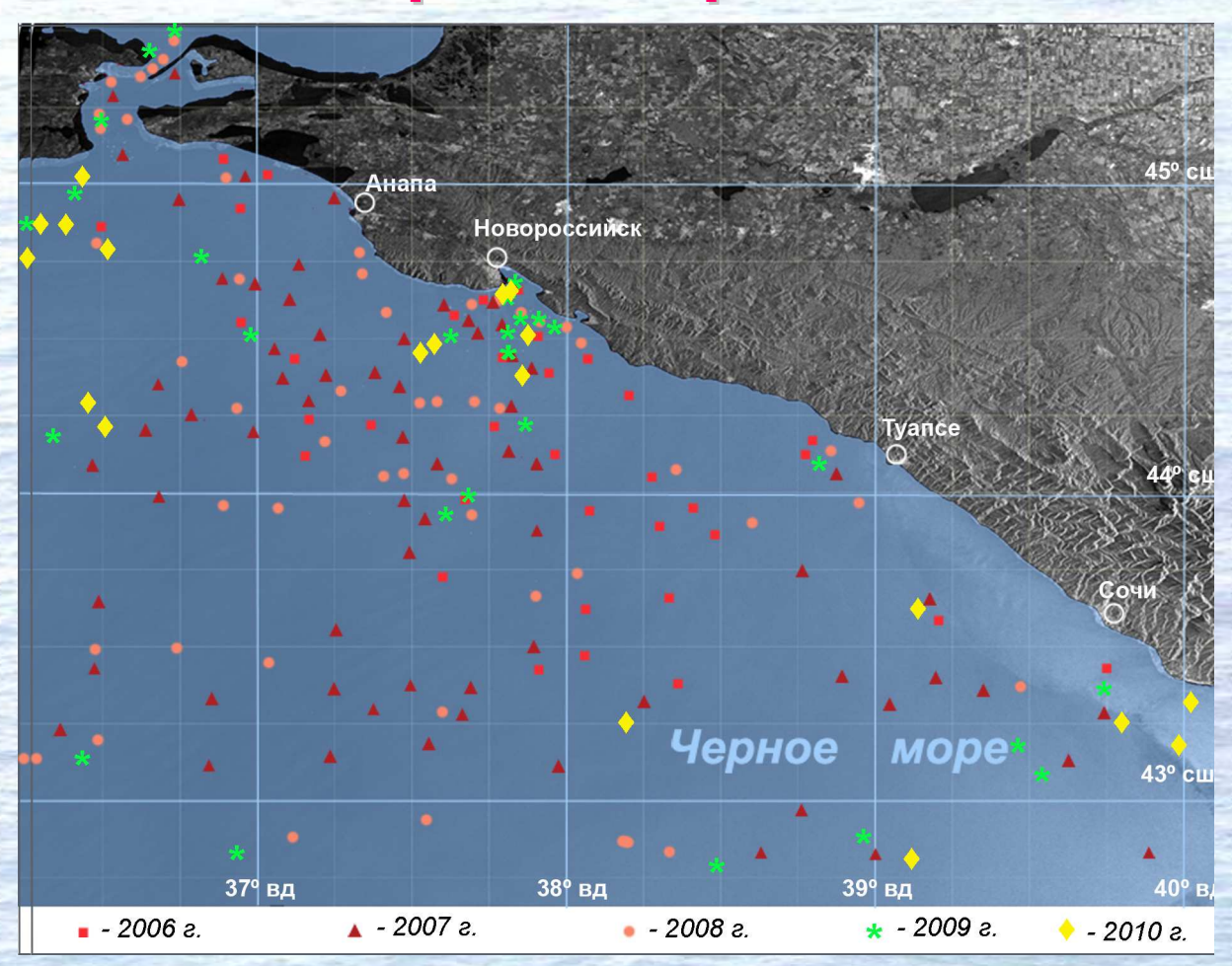
Корабельные следы во льдах в Финском заливе. Фрагмент снимка ASAR Envisat WSM HH от 17.02.2010, 19:31 UTC. Размер пикселя 75 м. (© ESA)

### Мониторинг антропогенных загрязнений. Черное море



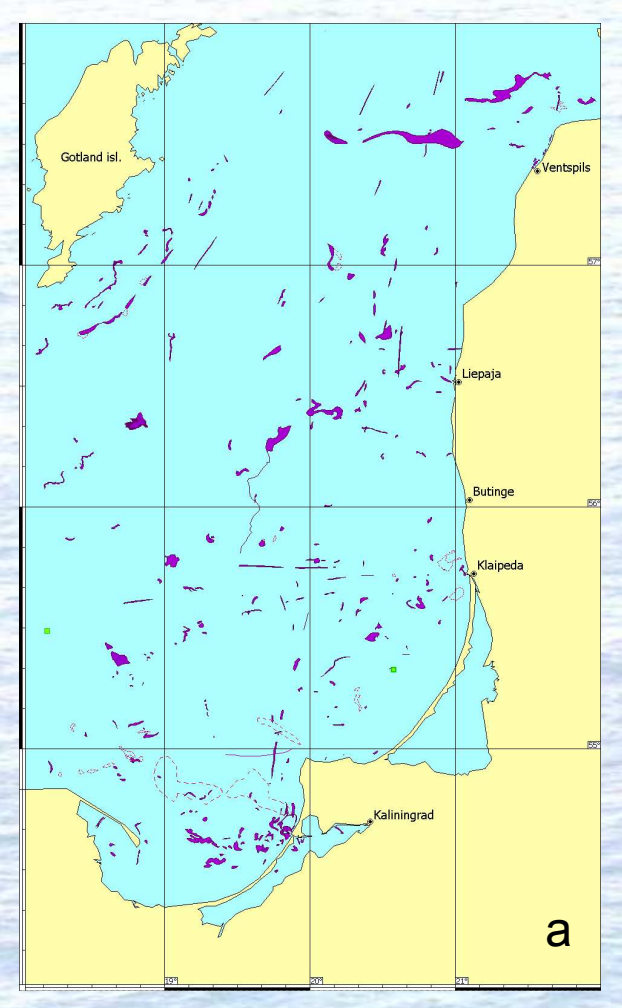
Загрязнения в районе сброса сточных вод. Фрагмент ASAR Envisat IMP VV изображения от 29.09.2010, 07:28 UTC. Пространственное разрешение 12,5 м

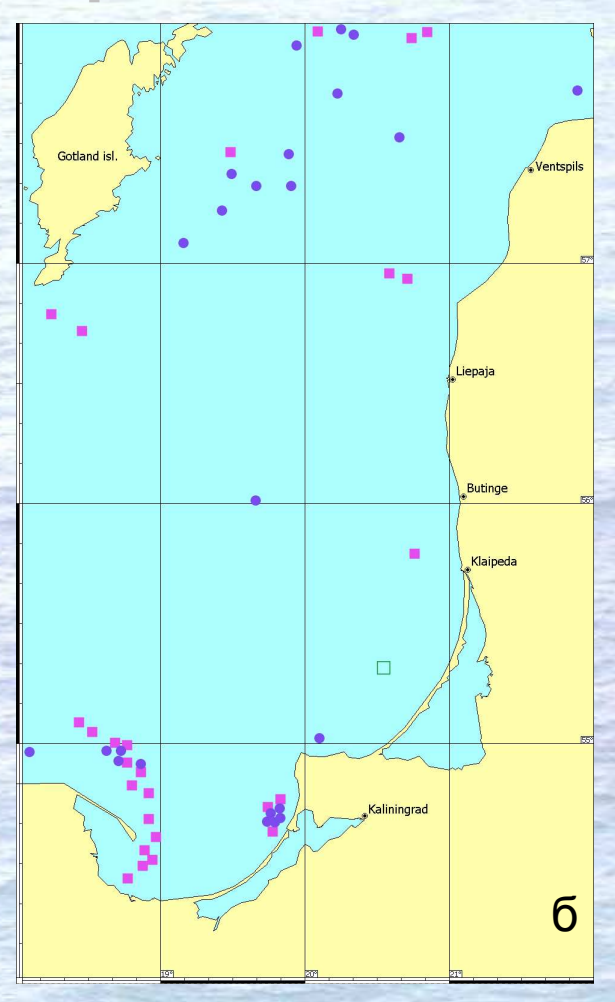
### Мониторинг антропогенных загрязнений. Черное море



Обобщенная карта-схема значительных нефтяных загрязнений российского сектора Черного моря, составленная на основе дешифрирования данных спутниковой радиолокации высокого разрешения, полученных в 2006 – 2010 гг.

### Мониторинг антропогенных загрязнений. Балтийское море



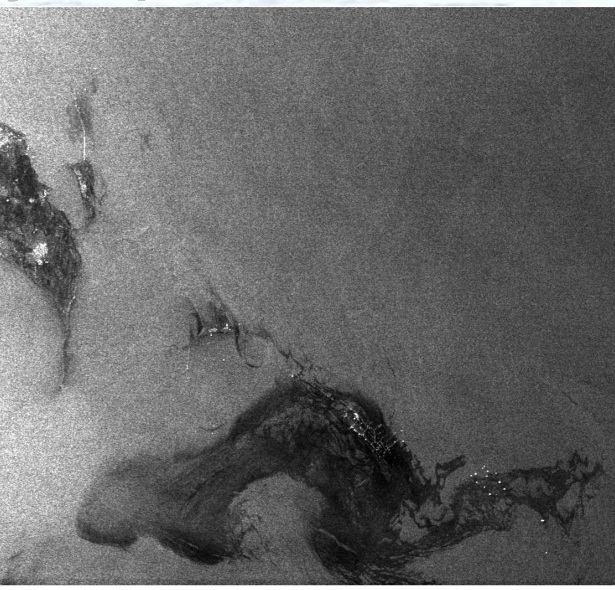


Обобщенные карты-схемы всех нефтяных пятен, обнаруженных в результате анализа РЛИ: а) с июня 2004 г. по ноябрь 2005 г.;

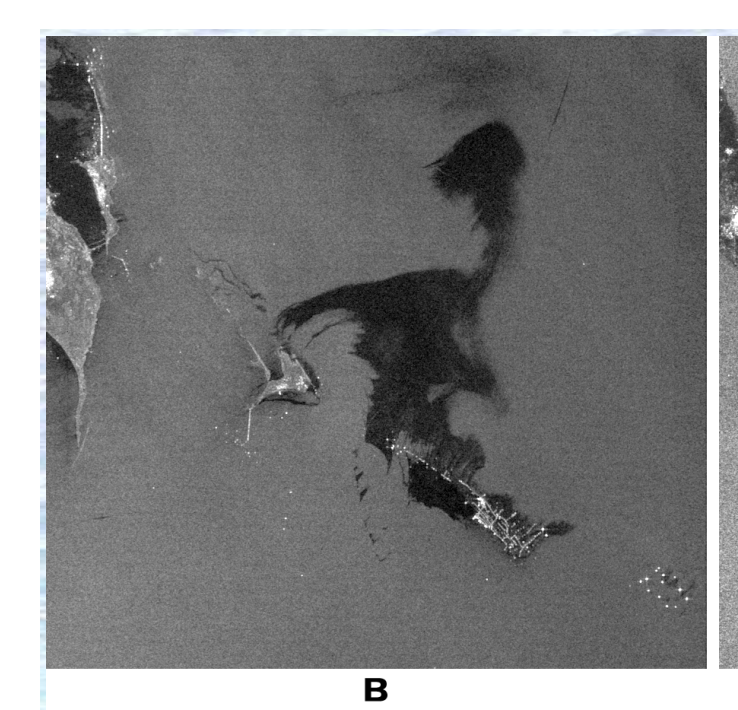
б) с января 2009 по август 2010. Кружочки – 2009 г., квадратики – 2010. Зеленый квадратик – нефтедобывающая платформа Д-6

### Нефтяные загрязнения у Нефтяных камней





а б





Г

Загрязнения акватории нефтяных платформ в районе Нефтяных камней, проявляющиеся на РЛИ при различных метеорологических условиях:

- а) Ветер северный 8 м/с. Фрагмент Landsat 5 ТМ изображения от 30.05.2009 07:07 UTC, зона солнечного блика. Композит 7, 4 и 2 каналов. Разрешение 30 м. (http://glovis.usgs.gov/)
- б) Ветер северный 5м/с с переходом на южный. Фрагмент РЛИ Envisat ASAR WSM HH от 31.05.09 18:20 UTC.
- в) Умеренный юговосточный ветер 4 м/с. Фрагмент РЛИ Envisat ASAR WSM HH от 28.07.10 18:26 UTC.
- г) Сильный северный ветер 12 м/с. Фрагмент РЛИ Envisat ASAR WSM HH от 19.06.09 18:23 UTC. Разрешение всех РЛИ 75 м. (© ESA)

# «Белые» следы за кораблями



### Заключение (1)

- При проведении ежедневного оперативного спутникового мониторинга, который осуществляется над акваториями Черного, Балтийского и Каспийского морей начиная с 2009 года, получено огромное количество спутниковой информации.
- Только радиолокационных данных высокого разрешения ASAR Envisat и SAR ERS-2 до октября 2010 года получено 1806 изображений (!).
- Практически ко всем из них была подобрана комплиментарная информация: данные оптических и ИК сенсоров и данные метеостанций.
- **Огромный массив данных требует тщательной совместной обработки и осмысления.**
- **Остро назрела необходимость создания полноценной базы данных всех результатов мониторинга**



### Заключение (2)

Предварительный анализ накопленных данных уже на настоящем этапе позволил:

- ▶ выявить и детально изучить внутренние волны в бесприливных морях, определить районы их наиболее частых поверхностных проявлений, высказать предположения об источниках их генерации;
- ▶ провести исследование мелкомасштабных вихревых структур и выявить их связь с фронтальными зонами в атмосфере и море;
- ➤ продолжить мониторинг антропогенных загрязнений морской поверхности и провести сравнение современного состояния с предыдущими годами;
- начать работу по мониторингу ледового покрова в Балтийском, Азовском морях и в северной части Каспийского моря



### Благодарности

Работа выполнена при финансовой поддержке Российского фонда фундаментальных исследований (проекты № 08-05-00831-а и 10-05-00428-а).

Спутниковые радиолокационные данные предоставлены Европейским космическим агентством в рамках проектов С1Р.6342, AOBE 2775 и C1P.1027.

Тематическая обработка данных MODIS Aqua/Terra и AVHRR NOAA выполнена

Дмитрием Соловьевым и Сергеем Станичным, Морской гидрофизический институт, Севастополь

### Спасибо

**3a** 

внимание